

*E. V. Михайлик, O. B. Чудаев, H. N. Баринов, A. I. Обжиров*

## ГИДРОТЕРМАЛЬНЫЕ ПРОЯВЛЕНИЯ ЖЕЛЕЗО-МАРГАНЦЕВОЙ МИНЕРАЛИЗАЦИИ В хр. Тонга

Проведено минералого-геохимическое изучение железо-марганцевых рудных корок хр. Тонга. Показана

Железо-марганцевые образования океанов в последнее время привлекают пристальное внимание исследователей в связи с разнообразием генетических типов этих отложений и возможностью их промышленного освоения.

Авторами изучены железо-марганцевые рудные корки, обнаруженные в северной части хр. Тонга. Исходный материал получен во время выполнения научной программы 16-го рейса НИС «Каллисто» в 1982 г. В указанном регионе железо-марганцевая минерализация изучена в пределах полигона Е (см. рисунок).

На станции 22 подняты слабо литифицированные туфы и известняки, насыщенные железо-марганцевым веществом в виде линз, гнезд, прослоев и корок толщиной 0,5–2 см. Туфы по составу основные, сложены литокластитами базальтов и сцепментированы тонко-дисперсным смектитизированным стеклом.

На станциях 63 и 66 железо-марганцевая минерализация развита в виде корок и патеков на слабо литифицированных витрокластических туфах и туфобрекчиях. Толщина рудных корок достигает 4 см. Состав туфов варьирует от средних до кислых разностей.

Вещественный состав железо-марганцевых образований изучался в лабораториях ДВГИ ДВНЦ АН СССР. Минеральный состав рудных корок определялся на рентгеновском дифрактометре «Дрон-2,0» и электронном микроскопе «BS-540» О. В. Чудаевым и Н. Н. Бариновым. Fe, Mn, Zn, Cu, Ni и Co определялись атомно-абсорбционным методом Л. А. Авдевиной и Л. А. Вржосек, а Mo — химическим путем Л. С. Левчук.

На полигоне Е железо-марганцевые образования представлены главным образом бернесцитом. Четкость рефлексов бернесита на рентгенограммах (7,2, 3,6 Å и т. д.) и их малая полуширина могут свидетельствовать об его хорошей окристаллизованности. На станции 22 наряду с бернеситом присутствует незначительная примесь 10 Å-минерала. Указанный рефлекс может принадлежать по крайней мере четырем минералам: манганиту или бузериту, тодорокиту, асболану и смешанно-слойному минералу асболан-бузериту [4]. По рентгеновским данным не всегда удается разделить эти минералы. Нагревание образца в течение 2 ч

гидротермальная природа железо-марганцевой минерализации данного региона.

при 105°C приводит к исчезновению 10 Å-рефлекса. Следовательно, данная фаза по своим свойствам ближе к 10 Å-магнаниту.

Среди железистых минералов рудных корок на станции 63 по данным электронной микроскопии с использованием микро-дифракции электронов обнаружен феррохигрит ( $\delta$ -FeOOH). На электронограммах феррохигрит имеет рефлексы в области 2,55, 2,23, 1,50 и 1,28 Å.

Химический состав железо-марганцевых образований представлен в таблице. Здесь же приведены данные по составу железо-марганцевых рудных корок различных генетических типов. Из результатов химического анализа следует, что железо-марганцевые корки по-

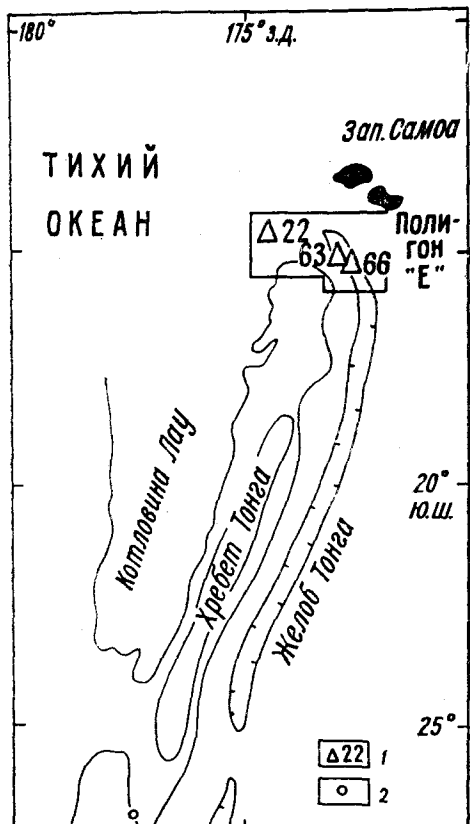


Схема расположения изученного района.

1 — станции драгирования, на которых встречены железо-марганцевые рудные корки (16-й рейс «Каллисто»), 2 — станции, изученные Д. Кроненом и др. [6].

лигона *E* в первую очередь характеризуются высоким содержанием Mn и низким — Fe. Отношение Mn/Fe изменяется от 141,2 до 8,81. Концентрация Mo на станции 66 выше, чем на станции 22.

Переходя к генезису изученных железо-марганцевых корок, необходимо отметить следующее. В настоящее время наиболее часто встречаются два типа железо-марганцевых корок — гидрогенные и гидротермальные. Различия в генезисе рудных корок отражаются в их вещественном составе. Гидрогенные рудные корки характеризуются невысокой величиной Mn/Fe (как правило, меньше 2) и относительно повышенными концентрациями малых элементов по сравнению с гидротермальными образованиями (см. таблицу). Кристаллическая фаза гидрогенных корок представлена  $\delta\text{-MnO}_2$  (вернадитом). В некоторых случаях вещество корок аморфно [2, 3]. В то же время гидротермальные железо-марганцевые корки характеризуются высокой величиной Mn/Fe и низкой концентрацией малых элементов. Минеральная фаза в таких корках представлена тодорокитом и (или) бернесситом [5, 6]. Исходя из этого, можно заключить, что железо-марганцевые образования полигона *E* имеют скорее всего гидротермальную природу. Это подтверждается комплексом данных. Поднятые драгами магматические породы полигона *E* в той или иной степени подвергнуты гидротермальному метаморфизму. В гипербазитах широко развиты серпентин (антиторит и лизардит), бруцит, тальк, смектит, доломит. В габброидах обнаружены пренит, хлорит, корренсит, актинолит, доломит. В эфузивных породах вторичные минералы представлены хлоритом, триоктаэдрическим смектитом и кальцитом.

Результаты гидрохимического опробования на расстоянии 1 м от дна в районе станций 63 и 66 показали высокие значения  $\text{pH} = 8,05$  (обычно для таких глубин 7,7—7,8),  $\text{CO}_2 = 0,061 \text{ мл/л}$  (при фоне 0,02—0,03 мл/л),  $P = 3,30 \text{ мкг-ат/л}$  и низкое содержание  $\text{O}_2 = 2,6 \text{ мл/л}$ . Эти результаты также свидетельствуют о низкотемпературной гидротермальной деятельности в данном районе.

Сложно оценить температуру образования

Химический состав железо-марганцевых корок хр. Тонга в сравнении с различными генетическими типами марганцевых образований в Тихом океане

№ образца	Fe	Mn	Zn	Cu	Ni	Co	Mo	Mn/Fe
22/5	0,27	38,12	100	100	500	—	80	141,2
22/5	0,56	37,35	800	—	—	—	Не опр.	66,7
63/4	0,63	36,13	100	70	—	50	»	57,3
63/4	2,94	25,91	400	—	—	—	»	8,81
66/14	2,10	38,81	500	—	—	—	590	18,5
66/21	2,24	34,20	80	130	—	—	760	15,3
66/21	2,31	38,00	400	400	—	—	Не опр.	16,4
Гидротермальные Fe-Mn-образования хр. Кермадек [6]	0,24	52	490	100	320	3	»	216,6
Fe-Mn-образования Галапагосских гидротермальных холмов [5]	0,26	50	380	100	470	5	198	192,3
Гидрогенные образования средние по Тихому океану [6]	12	20	680	3920	6340	3350	440	1,67

Приложение. Mn и Fe в %, Zn, Cu, Ni, Co и Mo в г/т (р. р. м.), прочерк — не обнаружено.

изученных железо-марганцевых корок. Согласно данным А. В. Зотова [1], современное образование бернессита на вулкане Менделеева происходит при 25—27°C. Определение изотопного состава карбонатов в магматических породах полигона *E* позволяет заключить, что формирование карбонатов происходило при 65°C. В связи с этим, вероятно, для рудных корок полигона *E* температура образования вряд ли превышала 50°C.

Следует отметить, что Д. Кронен с соавт. [6] в пределах северного замыкания хр. Кермадек (см. рисунок) недавно обнаружил гидротермальные проявления железо-марганцевой минерализации, которые по минеральному и химическому составу близки таковым полигоном *E* (см. таблицу).

Таким образом, проведенные исследования показали, что в пределах северной части хр. Тонга существуют низкотемпературные гидротермальные проявления железо-марганцевой минерализации, близкие по вещественному составу подобным образованиям других частей Тихого океана. Наличие гидротермальных железо-марганцевых корок в хребтах Кермадек [6] и Тонга позволяет считать, что в пределах этого региона гидротермальная железо-марганцевая минерализация широко распространена.

## ЛИТЕРАТУРА

1. Зотов А. В. Современное образование некоторых марганцевых минералов на вулкане Менделеева на о. Кунашир.—Зап. ВМО, 1968, ч. 97, вып. 3.
2. Кронен Д. Подводные минеральные месторождения. М.: Мир, 1982.
3. Чудаев О. В., Скорнякова Н. С. и др. Минеральный состав железо-марганцевых конкреций центральной части Тихого океана.—ДАН СССР, 1983, т. 269, № 6.
4. Чухров Ф. В., Горшков А. И. и др. Смешанослойные

ДВГИ ДВНЦ АН СССР,  
Владивосток

- минералы асболанбузерит и асболаны в океанических железо-марганцевых конкрециях.—Изв. АН СССР. Сер. геол., 1983, № 5.
5. Corliss J. B., Lule M. et al. The chemistry of hydrothermal mounds near the Galapagos rift.—Earth Planet. Sci. Letters, 1978, v. 40, N 1.
  6. Cronan D. S., Glasby G. P. et al. A submarine hydrothermal manganese deposits from the South-West Pacific island arc.—Nature, 1982, v. 298, N 5873.

Поступила в редакцию  
2 апреля 1984 г.

УДК 56.016(571.6)

## Г. И. Бурый

### ТРИАСОВЫЕ КОНОДОНТЫ В КРЕМНИСТЫХ ТОЛЩАХ СИХОТЭ-АЛИНЯ

Установлено, что в кремнистых толщах, развитых на значительной площади Сихотэ-Алиня, содержатся многочисленные хорошие сохранности средне- и верхнетриасовые конодонты. Приводятся первые результаты их систематического изучения. Относительное количество конодонтов (коэффициент  $j$ ) в кремнях на по-

рядок больше, чем в рифогенных известняках. Конодонты в кремнистых породах и в известняках имеют общие виды. Получены первые данные о триасовом возрасте некоторой части отложений горбушинской свиты, ранее считавшейся юрской.

В связи с крупномасштабным картированием терригенно-кремнистых толщ верхнего палеозоя — нижнего мезозоя Сихотэ-Алиня в практике биостратиграфических исследований заметно возросла роль конодонтов.

Конодонты, как известно, встречаются во всех типах нормально-морских пород — в алевролитах, песчаниках, глинистых и битуминозных сланцах, кремнях, известняках в возрастном диапазоне от кембрия по триас включительно. Первые исследователи изучали конодонтов в глауконитовых и глинистых сланцах, а также в кремнях, используя различные способы их извлечения — промывку, кипячение и т. п. [7, 11], а если породы были слишком плотными, рассматривали конодонтов непосредственно на плоскостях слоистости [10, 13, 14]. Начиная с 40-х гг. нашего столетия во многих странах мира, в первую очередь в Западной Европе и Северной Америке [8, 12], а с 60-х гг. в нашей стране — в Ленинградской области, Прибалтике, Сибири, на Урале, в Донбассе, Белоруссии [3, 5, 6], конодонты изучаются преимущественно из известняков и пород с существенно карбонатным цементом. Это объясняется широким внедрением уксусно-кислотной методики дегементации карбонатных пород, которая наиболее проста и доступна для исследователей и позволяет получать наиболее сохранный палеонтологический материал.

Первые исследованные на Дальнем Востоке триасовые конодонты также извлекались из

известняков. Так, автором этой статьи детально изучены нижнетриасовые конодонты Южного Приморья, верхнетриасовые — рифогенных образований Дальнегорского района, установлены верхнетриасовые конодонты в линзах известняков Бикинского прогиба и в джаурской свите Хабаровского края; в известняках Омолонского массива Магаданской области встречены среднетриасовые конодонты. Однако при стратиграфических исследованиях выявились ограничения метода уксусно-кислотной дегементации, особенно при характеристике разрезов, сложенных бескарбонатными или слабо-карбонатными породами. Кроме того, у геологов часто появляются сомнения в одновозрастности известняков с вмещающими их терригенными и кремнистыми отложениями. На очереди дня стала задача изучения конодонтов из вмещающих известняки пород. Первые триасовые конодонты из кремнистых толщ Сихотэ-Алиня были исследованы автором в 1976—1979 гг. в шлифах из коллекций геологов ПГО Приморгеология. Из кремней бывшей себучарской свиты, развитых в бассейне р. Холминки, определены среднетриасовые *Prioniodina spengleri* (Huckriede), *Hindeodella suevica* (Tatge); на правом берегу р. Журавлевки в верхнем горизонте кремней стратотипического разреза маляновской свиты встречены *Paragondolella* sp., *Prioniodina pronoides* Budurov, *Hindeodella triassica* Müller, *H. aequiramosa* Kozur, Mostler также среднетриасового возраста (сборы